

高等学校微电子类
“十三五”规划教材

半导体物理与器件

考研辅导

主编 张 静



西安电子科技大学出版社
<http://www.xdph.com>

高等学校微电子类“十三五”规划教材

半导体物理与器件 考研辅导

主编 张 静

西安电子科技大学出版社

内容简介

本书是微电子专业课程“半导体物理学”和“电子器件”的习题集和考研真题题集，配合的教材分别是刘恩科编著的《半导体物理学（第七版）》和姜岩峰主编的《电子器件》。

本书分两大部分，共14章，内容包括半导体中的电子状态，半导体中杂质和缺陷能级，半导体中载流子的统计分布，半导体的导电性，非平衡载流子，PN结，金属和半导体的接触，半导体表面与MIS结构，半导体异质结构，半导体的光、电、热、磁效应，PN结二极管，双极型晶体管，结型场效应晶体管，MOS型场效应晶体管等。书中练习题形式多样，内容涵盖了所有考研大纲要求的知识点。本书内容丰富、翔实，是课堂教学及考研常备手册之一。

本书可作为高等院校微电子、电子、通信、自动化等相关专业的考研辅导书。

图书在版编目（CIP）数据

半导体物理与器件考研辅导/张静主编. —西安：西安电子科技大学出版社，2018.11

ISBN 978 - 7 - 5606 - 5128 - 6

I. ①半… II. ①张… III. ①半导体物理—研究生—入学考试—自学参考资料
②半导体器件—研究生—入学考试—自学参考资料 IV. ①O47 ②TN303

中国版本图书馆 CIP 数据核字（2018）第 249807 号

策划编辑 刘小莉

责任编辑 杨璠 高雯婧

出版发行 西安电子科技大学出版社（西安市太白南路2号）

电 话 (029) 88242885 88201467 邮 编 710071

网 址 www.xduph.com 电子邮箱 xdupfxb001@163.com

经 销 新华书店

印刷单位 陕西利达印务有限责任公司

版 次 2018年11月第1版 2018年11月第1次印刷

开 本 787 毫米×1092 毫米 1/16 印张 11.75

字 数 277千字

印 数 1~1000 册

定 价 26.00 元

ISBN 978 - 7 - 5606 - 5128 - 6/O

XDUP 5430001 - 1

* * * 如有印装问题可调换 * * *

前　　言

本书是基于微电子学专业基础类课程的辅助资料，重点针对考研课程而设计，并在教学改革的基础上，根据高等院校微电子专业学生的培养目标要求编写而成的。本书可作为电气、电子、通信、材料、机械等专业的考研辅导书，也可作为电子技术工程人员的参考书。

编者在多年的教学中发现，学生在学习“半导体物理”类基础学科中存在比较大的困难——理论理解不透彻，对于微观世界缺乏想象力，学起来感觉枯燥无味，无从下手。教师在课堂教学中也存在很多的困难。在这种背景下编者决定编写本书，通过课堂教学中的知识点，特别是难以理解的概念，让学生带着问题去“做”，在“做”的同时思考问题，掌握知识。

需要说明的是，本书第一部分与刘恩科编著的《半导体物理学（第7版）》一书相配合，根据大部分高校的考研大纲进行设计，重点涵盖了“半导体物理学”的考研真题，分章整理，并附上了部分答案。本书的第二部分配合姜岩峰主编的《电子器件》一书。每章后面都配有考研真题。

本书由张静主编。在出版过程中得到了许多老师及同学的帮助和支持，在此表示由衷的感谢。

限于编者水平，书中难免有不妥之处，恳请读者批评、指正。

编者

2018年9月

目 录

第一部分 半导体物理学

绪论	2
第1章 半导体中的电子状态	4
1.1 主要知识	4
1.2 典型例题	7
1.3 练习题	9
【考研真题】	12
第2章 半导体中杂质和缺陷能级	17
2.1 主要知识	17
2.2 典型例题	19
2.3 练习题	19
【考研真题】	23
第3章 半导体中载流子的统计分布	26
3.1 主要知识	26
3.2 典型例题	29
3.3 练习题	31
【考研真题】	35
第4章 半导体的导电性	41
4.1 主要知识	41
4.2 典型例题	43
4.3 练习题	44
【考研真题】	48
第5章 非平衡载流子	60
5.1 主要知识	60
5.2 典型例题	62
5.3 练习题	63
【考研真题】	68
第6章 PN结	78
6.1 主要知识	78
6.2 典型例题	79
6.3 练习题	79

【考研真题】	82
第 7 章 金属和半导体的接触	95
7.1 主要知识	95
7.2 典型例题	97
7.3 练习题	98
【考研真题】	102
第 8 章 半导体表面与 MIS 结构	106
8.1 主要知识	106
8.2 典型例题	107
8.3 练习题	109
【考研真题】	113
第 9 章 半导体异质结构	121
9.1 主要知识	121
【考研真题】	121
第 10 章 半导体的光、电、热、磁效应	123
10.1 主要知识	123
10.2 练习题	124

第二部分 电子器件

第 11 章 PN 结二极管	126
11.1 主要知识	126
11.2 典型例题	129
11.3 练习题	130
【考研真题】	138
第 12 章 双极型晶体管 (BJT)	146
12.1 主要知识	146
12.2 典型例题	150
12.3 练习题	151
【考研真题】	159
第 13 章 结型场效应晶体管 (JFET)	162
13.1 主要知识	162
13.2 典型例题	163
13.3 练习题	164
第 14 章 MOS 型场效应晶体管 (MOSFET)	168
14.1 主要知识	168
14.2 典型例题	171
14.3 练习题	172
【考研真题】	181

第一部分

半导体物理学

绪 论

(一) 主要知识

(1) 半导体：室温下电阻率介于 $10^{-3} \Omega \cdot \text{cm}$ 和 $10^9 \Omega \cdot \text{cm}$ 之间，电子激发能隙大约为 $0 \sim 3 \text{ eV}$ 的物质称为半导体。半导体的导电性介于金属和绝缘体之间。按导电性(电阻)固体材料可分成：超导体、导体、半导体、绝缘体。

(2) 半导体具有以下重要特性：

- ① 导电性处于金属和绝缘体之间；
- ② 电阻率与温度的关系很大，而且电阻率一般具有负温度系数；
- ③ 电阻率与掺杂情况(杂质种类和浓度)有很大关系；
- ④ 存在两种(电子、空穴)载流子；
- ⑤ 存在比金属要高的温差电动势率和 Hall 系数；
- ⑥ 具有较高的光电导等光敏性；
- ⑦ 半导体与金属接触，或者半导体 PN 结，具有非线性电流-电压关系，并且具有整流特性；
- ⑧ 具有明显的表面电场效应。

(3) 元素半导体：Si 和 Ge 为四族元素半导体，由 4 个最近邻的原子构成共价键，其晶体结构主要是金刚石结构。

Si(硅)：当前 80% 以上的半导体器件和集成电路以硅作为原材料，原因如下：

- ① 硅的丰裕度高，硅的主要来源是石英砂(氧化硅或二氧化硅)和其他硅酸盐。
- ② 更高的熔化温度(1420°C)允许更宽的工艺容限。
- ③ 氧化硅可自然生成。

硅的工作温度通常是 $130 \sim 150^\circ\text{C}$ ，一些领域需要更高的工作温度(一般为 $500 \sim 1000^\circ\text{C}$)时，可选用 C、GaN、SiC 等材料。

Ge(锗)：1948 年锗晶体管的诞生引起了电子工业的革命，打破了电子管一统天下的局面。

(二) 练习题

- (1) 半导体定义为电阻率处于 _____ ~ _____ $\Omega \cdot \text{cm}$ 范围内的材料。
- (2) 半导体按材料可分为：_____ 和 _____ 两种。
- (3) 半导体的基本电学特性：
- ① 导电性处于 _____ 和 _____ 之间。

- ② 电阻率与温度的关系很大，而且电阻率一般随温度的升高而_____。
- ③ 半导体中掺入杂质后，电阻率将大大_____，而且半导体掺入杂质后，在一定温度范围内可呈现出与金属类似的正的电阻温度系数。
- ④ 存在两种(正、负电荷)载流子：_____、_____。
- (4) 对半导体的基本要求：因为半导体的性质与杂质和缺陷有很大的关系，所以要求制造器件的原始半导体材料必须非常_____和_____。

第1章 半导体中的电子状态

1.1 主要知识

1. 金刚石结构和共价键

由同种晶体组成的元素半导体，如 Si、Ge 半导体，其原子组合成晶体靠的是共价键结合，即其原子间无负电性差，它们通过共用一对自旋相反而配对的价电子结合在一起。Si 和 Ge 具有金刚石结构。

2. 闪锌矿结构和化学键

Ⅲ-V 族和 Ⅱ-VI 族半导体材料都具有闪锌矿(立方 ZnS)结构。

化学键：共价键+离子键。

3. 纤锌矿结构

ZnS、ZnSe、CdS、CdSe 等都可具有闪锌矿和纤锌矿两种结构(对于电负性相差较大的两种元素，将倾向于构成纤锌矿结构)。

特点：类似闪锌矿结构(原子四面体排列)，但具有六方对称性(密排面沿着<001>方向按 ABAB…堆积)。

4. Bloch 波函数

Bloch 定理：

$$\psi_k(x) = u_k(x) \exp(i2\pi kx) \quad (\text{调幅平面波})$$

其中， k 为波矢， $u_k(x)$ 是一个与晶格同周期的周期性函数，即

$$u_k(x) = u_k(x + na)$$

其中， n 是整数， a 为晶格常数。

用波矢 k 来描述晶体电子公有化运动的状态，即 $|k| = 2\pi/\lambda$ 。

5. 电子能带

可以推理出：晶体电子不同 k 状态的能量 $E(k)$ 为能带状态。

具体的 $E(k)-k$ 关系需采用近似方法求解单电子薛定谔方程来得到；不同晶体的能带结构可用不同 $E(k)-k$ 关系图来表示。

6. 金刚石的电子能量与原子间距的关系

图 1.1 为金刚石结构电子能量与原子间距的关系，由该图可以说明很多问题，例如：

① E_g 随着温度的升高而变窄：温度升高使原子间距增大，则 E_g 变窄。

② 光吸收的本征吸收限随着温度的降低而往短波长方向移动，这是 E_g 变宽的缘故。

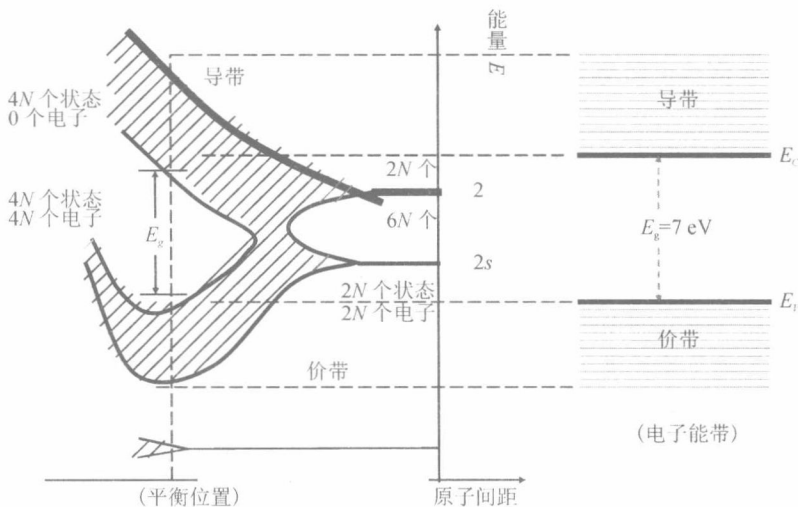


图 1.1 金刚石结构电子能量与原子间距的关系图

7. E_g 与温度的经验关系

一般 E_g 随着温度的升高而变窄(由于热膨胀和电子-声子互作用):

$$dE_g/dT = -\alpha \times 10^{-4} \text{ eV/K}$$

其中, $\alpha = 2.3(\text{Si})$, $3.7(\text{Ge})$, $5.0(\text{GaAs})$ 。

对 Si:

$$E_g(T) = 1.17 - 4.73 \times 10^{-4} T^2 / (636 + T)$$

对 Ge:

$$E_g(T) = 0.74 - 4.77 \times 10^{-4} T^2 / (235 + T)$$

对 GaAs:

$$E_g(T) = 1.52 - 5.41 \times 10^{-4} T^2 / (204 + T)$$

但是也有例外, E_g 随着温度的升高而变宽(α 为负值):

$$\text{HgTe} (\alpha = -5.6), \text{PbTe} (\alpha = -4)$$

8. 布里渊区

自由电子的 $E(k)-k$ 关系是抛物线关系, 而晶体电子的 $E(k)-k$ 关系是一系列周期性函数, 在 $k=n/a$ 时出现能量不连续, 从而形成许多容许带和禁带; 容许带出现在第一、第二、第三、…、布里渊区中, 禁带出现在布里渊区边界上。

由于周期性, 即 $E(k)=E(k+n/a)$, 则 k 和 $k+n/a$ 表示相同的状态。因此, 可以只取第一布里渊区中的 k 值来描述电子的所有能量状态, 而将其他区域移动 n/a 合并到第一布里渊区; 在考虑能带结构时, 只需要讨论第一布里渊区就够了。这时第一布里渊区中的 $E(k)$ 是 k 的多值函数, 这种第一布里渊区常称为简约布里渊区, 该区域内的波矢称为简约波矢。

9. 能带极值附近的 $E(k)-k$ 关系和载流子的有效质量

有效质量的数值可由回旋共振实验来确定，其特点如下：

(1) 取决于材料。

(2) 只在能带极值附近有意义。

(3) 可正可负。

(4) 大小与能带宽窄有关：内层能带窄， d^2E/dk^2 小，有效质量大；外层能带宽， d^2E/dk^2 大，有效质量小。因而，外层电子在外力作用下可以获得较大的加速度。

(5) 对于带顶和带底的电子，有效质量恒定。

10. 晶体电子的平均速度 v

$$v = \frac{1}{\hbar} \frac{dE}{dk} = \frac{\hbar k}{m_n^*}, v_{\text{三维}} = \frac{1}{\hbar} \nabla_k E(k), a = \frac{f}{m_n^*}, m_n^* = \frac{\hbar^2}{(d^2E/dk^2)}$$

$$m_{xx}^* = \frac{\hbar^2}{(\partial^2 E / \partial k_x^2)}, m_{yy}^* = \frac{\hbar^2}{(\partial^2 E / \partial k_y^2)}, m_{zz}^* = \frac{\hbar^2}{(\partial^2 E / \partial k_z^2)}$$

11. 晶体电子的加速度 a

在外电场 E 的作用下，电子受到力 $f = -q|E|$ ，使得在 dt 时间内产生位移 ds ，则外力 f 对电子所作的功即等于电子能量的变化： $dE = f ds = f v dt = (f/\hbar)(dE/dk) dt$ ，而 $dE = (dE/dk) dk$ ，所以 $f = \hbar(dk/dt)$ 。

这就是说，在外力 f 作用下，电子的状态 k 不断变化，其变化率正比于 f 。

12. 电子的有效质量 m_n^* 与能带宽度有关

由于 m_n^* 概括了晶体内部势场的作用，可正可负；同时它也反映了在外力作用下惯性的大小。能带极值附近电子的 m_n^* 大小与能带本身的宽度有关：能带越窄， dE^2/dk^2 就越小，则 m_n^* 越大。因此，对于内层电子的能带，宽度较窄， m_n^* 大；对于外层电子的能带，宽度较宽， m_n^* 小，从而在外力作用下可以获得较高的加速度。

13. 空穴

当满带顶附近有空状态 k 时，整个能带中的电流以及电流在外电磁场作用下的变化，与一个带正电荷 q ，具有正有效质量 $|m^*|$ 和速度 $v(k)$ 的粒子的情况一样。

将价带电子的导电作用等效为带正电荷的准粒子的导电作用。这种假想的粒子称为空穴。

14. Si 和 Ge 的实际能带结构

(1) 导带底附近的等能面方程(取导带底中心为能量零点时)：

$$E(k) = \frac{\hbar^2}{2} \left\{ \frac{k_1^2 + k_2^2}{m_1} + \frac{k_3^2}{m_1} \right\}$$

横向有效质量 $m_t = m_x^* = m_y^*$ ，纵向有效质量 $m_l = m_z^*$ 。

(2) 价带顶在 $k=0$ 处，有 2+1 个能带结构：

① 4 度简并态：

$$E(k) = \frac{\hbar^2}{2m_0} \{ A k^2 \pm [B^2 k^4 + C^2 (k_x^2 k_y^2 + k_y^2 k_z^2 + k_z^2 k_x^2)]^{1/2} \}$$

② 2度简并态：

$$E(k) = -\Delta - \left(\frac{\hbar^2}{2m_0}\right)Ak^2$$

(3) 有效质量的数值：

对 Si：

$$m_l = 0.97m_0, m_t = 0.19m_0$$

$$m_{pl} = 0.16m_0, m_{ph} = 0.53m_0, m_{p3} = 0.245m_0, \Delta \approx 0.04 \text{ eV}$$

对 Ge：

$$m_l = 0.12m_0, m_t = 0.0819m_0$$

$$m_{pl} = 0.044m_0, m_{ph} = 0.36m_0, m_{p3} = 0.077m_0, \Delta \approx 0.29 \text{ eV}$$

对 GaAs：

$$m_n = 0.067m_0; m_{pl} = 0.082m_0, m_{ph} = 0.45m_0$$

15. GaAs 的能带结构

(1) 导带：导带底(主能谷)在 $k=0$ ，等能面是球面， $m_n^* = 0.067m_0$ ；在导带底以上还有2个导带极小值(L 点和 X 点)， L 点(称为次能谷)比导带底约高0.29 eV， X 点比导带底约高0.46 eV， L 点和 X 点电子的有效质量分别为 $0.55m_0$ 和 $0.85m_0$ 。

(2) 价带：价带顶稍微偏离 $k=0$ ；轻空穴的有效质量为 $0.082m_0$ ，重空穴的有效质量为 $0.45m_0$ ； $\Delta=0.34 \text{ eV}$ 。

(3) 禁带宽度：室温下 $E_g = 1.42 \text{ eV}$ ，温度关系为

$$E_g(T) = E_g(0) - \frac{\alpha T_2}{T + \beta}$$

其中， $E_g(0) = 1.59 \text{ eV}$ ； $\alpha = 5.405 \times 10^{-4} \text{ eV/K}$ ； $\beta = 204 \text{ K}$ 。

1.2 典型例题

例 1.1 证明：对于能带中的电子 $e'f$ ， k 状态和 $-k$ 状态的电子速度大小相等、方向相反，即： $v(k) = -v(-k)$ 。解释为什么无外场时，晶体总电流等于零。

解 k 状态电子的速度为

$$v(k) = \frac{1}{\hbar} \left[\frac{\partial E(k)}{\partial k_x} \mathbf{i} + \frac{\partial E(k)}{\partial k_y} \mathbf{j} + \frac{\partial E(k)}{\partial k_z} \mathbf{k} \right] \quad (1-1)$$

同理， $-k$ 状态电子的速度为

$$v(-k) = \frac{1}{\hbar} \left[\frac{\partial E(-k)}{\partial k_x} \mathbf{i} + \frac{\partial E(-k)}{\partial k_y} \mathbf{j} + \frac{\partial E(-k)}{\partial k_z} \mathbf{k} \right] \quad (1-2)$$

从一维情况容易看出：

$$\frac{\partial E(-k)}{\partial k_x} = -\frac{\partial E(k)}{\partial k_x} \quad (1-3)$$

同理有

$$\frac{\partial E(-k)}{\partial k_y} = -\frac{\partial E(k)}{\partial k_y} \quad (1-4)$$

$$\frac{\partial E(-k)}{\partial k_z} = -\frac{\partial E(k)}{\partial k_z} \quad (1-5)$$

将式(1-3)、式(1-4)、式(1-5)代入式(1-2)后得

$$v(-k) = -\frac{1}{\hbar} \left[\frac{\partial E(k)}{\partial k_x} \mathbf{i} + \frac{\partial E(k)}{\partial k_y} \mathbf{j} + \frac{\partial E(k)}{\partial k_z} \mathbf{k} \right] \quad (1-6)$$

利用式(1-1)即得: $v(-k) = -v(k)$ 。得证。

因为电子占据某个状态的概率只同该状态的能量有关, 即 $E(k) = E(-k)$, 故电子占有 k 状态和 $-k$ 状态的概率相同, 且 $v(k) = -v(-k)$, 故这两个状态上的电子电流相互抵消, 晶体中总电流为零。

评析: 该题从晶体中作共有化运动电子的平均漂移速度与能量 E 的关系以及相同能量状态电子占有的概率相同出发, 证明 k 状态和 $-k$ 状态的电子速度大小相等、方向相反, 以及无电场时, 晶体总电流为零。

例 1.2 已知一维晶体的电子能带可写为

$$E(k) = \frac{\hbar^2}{m_0 a^2} \left[\frac{7}{8} - \cos(2\pi ka) + \frac{1}{8} \cos(6\pi ka) \right]$$

其中, a 为晶格常数。试求:

(1) 能带的宽度;

(2) 能带底部和顶部电子的有效质量。

解 (1) 由 $E(k)$ 关系得

$$\begin{aligned} \frac{dE}{dk} &= \frac{\pi \hbar^2}{m_0 a^2} \left[2\sin(2\pi ka) + \frac{3}{4} \sin(6\pi ka) \right] \\ &= \frac{\pi \hbar^2}{m_0 a^2} \left(3\sin^3 \pi ka - \frac{1}{4} \sin 2\pi ka \right) \end{aligned} \quad (1-7)$$

$$\frac{d^2 E}{dk^2} = \frac{\pi^2 \hbar^2}{m_0} \left(18\sin^2 2\pi ka \cos 2\pi ka - \frac{1}{2} \cos 2\pi ka \right) \quad (1-8)$$

令 $\frac{dE}{dk} = 0$, 得

$$\sin^2 2\pi ka = \frac{1}{12}$$

所以

$$\cos 2\pi ka = \pm \left(\frac{11}{12} \right)^{\frac{1}{2}}$$

当 $\cos 2\pi ka = \sqrt{\frac{11}{12}}$ 时, 代入式(1-8)可得

$$\frac{d^2 E}{dk^2} = \frac{\pi^2 \hbar^2}{m_0} \left(18 \times \frac{1}{12} \times \sqrt{\frac{11}{12}} - \frac{1}{2} \times \sqrt{\frac{11}{12}} \right) = \sqrt{\frac{11}{12}} \frac{\pi^2 \hbar^2}{m_0} > 0$$

对应 $E(k)$ 的极小值。

当 $\cos 2\pi ka = -\sqrt{\frac{11}{12}}$ 时, 代入式(1-8)可得

$$\frac{d^2E}{dk^2} = \frac{\pi^2\hbar^2}{m_0} \left(-18 \times \frac{1}{12} \times \sqrt{\frac{11}{12}} + \frac{1}{2} \times \sqrt{\frac{11}{12}} \right) = \sqrt{\frac{11}{12}} \frac{\pi^2\hbar^2}{m_0} < 0$$

对应 $E(k)$ 的极大值。

根据上述结果, 求得 E_{\min} 和 E_{\max} , 即可求得能带宽度。

$$E_{\min} = \frac{\hbar^2}{m_0 a^2} \left[\frac{7}{8} - \frac{11}{8} \left(\sqrt{\frac{11}{12}} \right)^{\frac{3}{2}} \right] = \frac{\hbar^2}{m_0 a^2} \left[\frac{7}{8} - \left(\frac{11}{12} \right)^{\frac{3}{2}} \right]$$

$$E_{\max} = \frac{\hbar^2}{m_0 a^2} \left[\frac{7}{8} + \left(\frac{11}{12} \right)^{\frac{3}{2}} \right]$$

故能带宽度为

$$\Delta E = E_{\max} - E_{\min} = 2 \left(\frac{11}{12} \right)^{\frac{3}{2}} \frac{\hbar^2}{m_0 a^2}$$

(2) 能带底部和顶部电子的有效质量为

$$(m_n^*)_{\text{底}} = \left[\frac{1}{\hbar^2} \left(\frac{d^2E}{dk^2} \right)_{\text{底}} \right]^{-1} = \left[\frac{1}{\hbar^2} \sqrt{\frac{11}{12}} \frac{\pi^2 k^2}{m} \right]^{-1} = 4 \sqrt{\frac{12}{11}} m_0 = 4.18 m_0$$

$$(m_n^*)_{\text{顶}} = \left[\frac{1}{\hbar^2} \left(\frac{d^2E}{dk^2} \right)_{\text{顶}} \right]^{-1} = \left[\frac{1}{\hbar^2} \left(-\sqrt{\frac{11}{12}} \frac{\pi^2 k^2}{m_0} \right) \right]^{-1} = -4 \sqrt{\frac{12}{11}} m_0 = -4.18 m_0$$

评析: 本题根据能带宽度为能带顶和能带底的能量之差, 即能量最大值和最小值之差进行解答。

1.3 练习题

一、填空题

- Si、Ge 半导体是_____结构, 其原子组合成晶体靠_____结合。
- 闪锌矿结构的材料有_____、_____；混合键是_____键+_____键。
- ZnS、ZnSe、CdS、CdSe 等都可具有_____矿和_____矿两种结构。
- 共价键具有两个特点: _____、_____。
- 体心立方晶体中, 原子线密度最大的为_____晶向。
- 用_____来描述晶体电子共有化运动的状态。
- 半导体能带极值附近有效质量的确定方法: _____。
- 越是外层电子, 共有化运动越_____, 能带越_____, ΔE 越_____。
- 金刚石的电子能量带隙随原子间距的增加而_____。
- 光吸收的本征吸收线随着温度的降低而往_____波长方向移动, 这是 E_g 变宽的缘故。
- E_g 与温度的经验关系: 一般地, E_g 随着温度的升高而变_____ (由于热膨胀和电子-声子互作用)。
- 脱离共价键所需的最低能量就是_____, 用_____来表示。
- 能带中的能级是很密集的, 可以把晶体中共有化电子的能量 E 视为_____连续的。

14. 一个允带对应的 K 值范围称为 _____，禁带出现在 _____。
15. 满带是由价电子组成的，所以满带又称为 _____。
16. 能带底电子的有效质量为 _____ 值，能带顶电子的有效质量为 _____ 值。
17. 有效质量的特点：
- (1) 对于能带极值附近的电子，只要知道其有效质量 _____，就能得到极值附近的 _____。
 - (2) 电子的有效质量不是电子的实际(惯性)质量，它概括了晶体 _____ 的作用，它只有在 _____ 附近才有意义。
18. 电子的有效质量与能带宽度有关：能带越窄， m_n^* 就越 _____。对于内层电子的能带，宽度较窄， m_n^* _____；对于外层电子的能带，宽度较大， m_n^* _____，从而在外力作用下可以获得较高的加速度。
19. (1) 各向同性的 _____ 形等能面情况：能带极值在 $k=0$ 处(GaAs 的情况)。
 (2) 各向异性的 _____ 形等能面情况：能带极值在 $k \neq 0$ 处(Si 和 Ge 导带底情况)。
20. 孤立氢原子中电子在 _____ 势场中运动，其状态是 _____，称为 _____；一维下自由电子在 _____ 势场中运动，其薛定谔方程的解是 _____，自由电子在空间各点出现的概率是 _____，状态是 _____。晶体中电子在 _____ 势场中运动，称为 _____ 近似；一维下晶体中电子薛定谔方程的解是 _____，称为 _____，晶体中电子在各点出现的概率是 _____，其概率具有 _____ 性质，称为电子的 _____ 运动，其状态是 _____。
- ## 二、简答题
1. 试定性说明 Ge、Si 的禁带宽度具有负温度系数的原因。
 2. 结合简易能带，分析金属、绝缘体和半导体的导电性不同的原因。
 3. 说明金刚石结构的特点。

三、计算题

1. 已知晶格常数为 a 的一维晶体的电子能带关系为

$$E(k) = \frac{\hbar^2}{ma^2} \left[\frac{7}{8} - \cos(ka) + \frac{1}{8} \cos(2ka) \right]$$

求：(1) 能带的宽度；

(2) 电子在波矢 k 状态时的速度。

2. 已知晶格常数为 a 的一维晶体的导带极小值附近的能量为

$$E_c(k) = \frac{\hbar^2 k^2}{3m} + \left[\frac{\hbar^2 (k - k_1)^2}{m} \right]$$

价带极大值附近的能量为

$$E_v(k) = \frac{\hbar^2 k_1^2}{6m} - \frac{3\hbar^2 k^2}{m}$$

其中， $k_1 = \pi/a$; $a = 3.14 \times 10^{-10}$ m; m 为电子质量。求：

- (1) 禁带宽度；
- (2) 导带底电子的有效质量；
- (3) 价带顶空穴的有效质量；
- (4) 导带底电子跃迁到价带顶时准动量的变化。